

# 鸭 MHC-I $\alpha$ 链胞外区成熟肽基因的克隆、序列分析及表达载体构建

孙 凯<sup>1,2</sup>, 李新生<sup>1,2</sup>, 崔保安<sup>1,2</sup>, 陈红英<sup>1,2</sup>, 魏战勇<sup>1,2</sup>, 张 蕾<sup>1,2</sup>,  
宋亚鹏<sup>1,2</sup>, 阮武营<sup>1,2</sup>

(1 河南农业大学 牧医工程学院,河南 郑州 450002;2 河南省动物性食品安全重点实验室,河南 郑州 450002)

**[摘要]** 【目的】克隆鸭 MHC-I  $\alpha$  链胞外区成熟肽基因 cDNA 序列, 构建并鉴定其原核表达质粒 pET/Du MHC-I。【方法】依据 GenBank/DDBJ/EMBL 基因库中公布的鸭 MHC-I 基因序列设计 1 对引物, 采用 RT-PCR 技术从鸳鸯鸭脾脏组织中扩增 MHC-I  $\alpha$  链胞外区成熟肽基因 cDNA, T-A 克隆到 pGEM-T Easy 载体中, 并进行测序。通过 PCR 和酶切的方法, 将鸭 MHC-I  $\alpha$  链胞外区成熟肽基因亚克隆入 pET-28a(+)载体, 构建重组表达质粒 pET/Du MHC-I, 并进行 PCR、Nco I 和 Not I 双酶切及测序鉴定。【结果】测序结果表明, 获得了 MHC-I  $\alpha$  链胞外区成熟肽基因, 其长度为 813 bp, 编码 271 个氨基酸。MHC-I  $\alpha$  链胞外区成熟肽基因与 GenBank 中登录的鸭 MHC-I  $\alpha$  链胞外区成熟肽基因序列的同源性为 89.4%~91.7%, 氨基酸同源性为 78.2%~83.7%; 与鸡、鹅、鹌鹑、草鱼、狗、猪、鼠和人的 MHC-I  $\alpha$  链胞外区成熟肽氨基酸序列的同源性分别为 64.6%, 79.3%, 59.4%, 41.0%, 26.6%, 45.0%, 12.5% 和 22.1%, 这表明 MHC-I  $\alpha$  链胞外区成熟肽基因存在着种属多样性, 且亲缘关系越近, 同源性越高。所获重组表达质粒 pET/Du MHC-I 经 PCR、酶切、测序鉴定, 证实鸭 MHC-I  $\alpha$  链胞外区成熟肽基因 cDNA 已正确克隆入 pET-28a(+)表达载体。【结论】成功克隆出鸭 MHC-I  $\alpha$  链胞外区成熟肽基因, 并构建了重组表达质粒 pET/Du MHC-I。

**[关键词]** 鸭; MHC-I  $\alpha$  链; 胞外区成熟肽基因; 原核表达载体

**[中图分类号]** S858.32

**[文献标识码]** A

**[文章编号]** 1671-9387(2010)02-0057-06

## Gene cloning, sequence analysis and prokaryotic expression vector construction of duck MHC-I $\alpha$ chain mature peptide of the extracellular domain

SUN Kai<sup>1,2</sup>, LI Xin-sheng<sup>1,2</sup>, CUI Bao-an<sup>1,2</sup>, CHEN Hong-ying<sup>1,2</sup>,  
WEI Zhan-yong<sup>1</sup>, ZHANG Lei<sup>1,2</sup>, SONG Ya-peng<sup>1,2</sup>, RUAN Wu-ying<sup>1,2</sup>

(1 College of Animal Husbandry and Veterinary Medicine, He'nan Agriculture University, Zhengzhou, He'nan 450002, China;

2 He'nan Animal Food Safety Key Laboratory, Zhengzhou, He'nan 450002, China)

**Abstract:** 【Objective】The study was done to clone duck MHC-I  $\alpha$  chain mature peptide gene cDNA sequence of the extracellular domain and construct a prokaryotic expression plasmid. 【Method】The cDNA of duck MHC-I  $\alpha$  chain extracellular domain of mature peptide gene amplified with RT-PCR from healthy duck spleen tissue was cloned into pGEM-T Easy vector by T/A Ligation. After double digestion, MHC-I  $\alpha$  chain extracellular domain of mature peptide cDNA fragment was subcloned into pET-28a (+) vector to construct a prokaryotic expression plasmid. Restriction endonucleases analysis and sequencing were used to

\* [收稿日期] 2009-06-28

[基金项目] 国家“十一五”科技支撑计划专项(2006BAD06A08)

[作者简介] 孙 凯(1982—),男,河南郑州人,在读硕士,主要从事分子免疫学和分子病毒学研究。

[通信作者] 崔保安(1948—),男,河南荥阳人,教授,博士生导师,主要从事分子病原学及分子免疫学研究。

conform the recombinant plasmid. 【Result】 The duck MHC-I  $\alpha$  chain mature peptide gene of the extracellular domain is 813 bp in length encoding 200 amino acids. The gene shared 89.4%–91.7% nucleotide homology and 78.2%–83.7% amino acid homology with other duck MHC-I  $\alpha$  chain mature peptide gene of the extracellular domain. Phylogenetic tree analysis indicated that the duck MHC-I  $\alpha$  chain mature peptide gene sequence variation was related to genus, the nearer relationship, the higher homology. The duck MHC-I  $\alpha$  chain mature peptide gene of the extracellular domain was correctly inserted into prokaryotic expression vector. 【Conclusion】 The result showed that the recombinant plasmid pET/Du MHC-I was constructed correctly, which paved the way for further studies on the MHC-I protein expression and its biological activities.

**Key words:** duck; MHC-I  $\alpha$  chain; mature peptide of the extracellular domain; prokaryotic expression vector

主要组织相容性复合体 (Major histocompatibility complex, MHC) 是免疫系统中最复杂、最具多态性的一类分子<sup>[1]</sup>。MHC 基因是彼此连锁在一起的高度多态的基因群, 具有调控同种移植排斥反应、免疫应答和某些补体组分生成等复杂的功能。MHC 包括 MHC-I、MHC-II 和 MHC-III 3 类分子, MHC-I 由一条  $\alpha$  链(重链)和  $\beta 2$  微球蛋白(轻链,  $\beta 2m$ )组成, 其中  $\alpha$  链由  $\alpha 1$ 、 $\alpha 2$  和  $\alpha 3$  3 个胞外区(功能区)、跨膜区和胞内区组成。 $\alpha 1$  和  $\alpha 2$  区域形成一个由 8 个  $\beta$  折叠和 2 个  $\alpha$  融合组成的两端闭合的深槽, 能与大约 8~10 个氨基酸多肽结合。 $\alpha$  链在内质网与  $\beta 2m$  及抗原多肽形成复合体后被递呈到细胞表面, 从而诱导机体产生特异性的细胞毒性 T 细胞(CTL)免疫应答<sup>[2]</sup>。

近年来爆发的全球性禽流感 (Avian influenza, AI), 给世界经济带来了巨大的损失, 同时也引起了一系列公共卫生问题, 而水禽是流感病毒 (Avian influenza virus, AIVs) 的重要储存宿主, 且在流感病毒的进化和生态分布中具有重要作用<sup>[3-4]</sup>。仇保丰等<sup>[5]</sup>对 2002~2006 年华东地区家鸭中不同亚型 AIVs 的血凝素 (Hem agglutinin, HA) 和神经氨酸酶 (Neuramidase, NA) 组成情况进行了调查, 结果表明该地区至少存在 9 种 HA 亚型和 6 种 NA 亚型组成的 13 种 AIVs 亚型。研究发现, 水禽不但是 AIVs 的巨大贮存库, 而且已成为自然感染、高度易感和死亡率高的禽类, 从家鸭体内分离的 H5N1 型 AIVs 毒力正在增强, 而且有引起家鸭发病的报道<sup>[6-7]</sup>。MHC-I 是重要的免疫分子, 能够稳定地遗传, 并且与疾病有明显的相关性。研究鸭 MHC-I 结构是阐明其分子免疫系统的重要环节。

鸭是我国养殖量最大的水禽, 但对其基础免疫学方面的研究甚少, 空白点比较多, AIVs 对鸭是否

存在免疫逃逸以及如何提高鸭对 AIVs 的免疫应答, 目前尚不清楚。为了进一步探讨 MHC-I 的生物学功能, 本研究应用基因工程技术, 从健康鸭脾脏中提取总 RNA, 用 RT-PCR 方法克隆鸭 MHC-I  $\alpha$  链胞外区成熟肽基因, 并将其克隆入原核表达载体 pET-28a(+), 构建重组表达质粒 pET/Du MHC-I, 以期为进一步研究鸭 MHC-I 蛋白表达、重组蛋白活性及其在抗原识别和免疫应答中的作用奠定基础。

## 1 材料与方法

### 1.1 材料

成年健康鸳鸯鸭, 购自河南郑州某鸭场; 高纯度总 RNA 快速提取试剂盒 (Trizol-离心柱型), 购自上海捷瑞生物工程有限公司; RevertAidTM First Strand cDNA Synthesis Kit, 购自 MBI 公司; Premix Ex Taq DNA 聚合酶, 限制性内切酶 EcoR I、Nco I 和 Not I 等, 均购自宝生物工程(大连)有限公司; B 型小量 DNA 片段快速回收试剂盒、B 型质粒小量快速提取试剂盒、DNA marker DL 2000, 为北京博大泰克生物基因技术有限公司产品; *E. coli* DH5 $\alpha$  感受态细胞、pGEM-T Easy Vector、T4-DNA Ligase, 购自 Promega 公司; 原核表达载体 pET-28a(+) 和表达宿主菌 BL21(DE3), 由河南省农业科学院惠赠。

### 1.2 方法

1.2.1 引物的设计与合成 根据 GenBank 上登录鸭 MHC-I mRNA 序列 (GI: AY294419), 运用 Olig 6.0 软件设计 1 对引物, 用于扩增鸭 MHC-I  $\alpha$  链胞外区成熟肽基因。上下游引物序列分别为: Du-m1: 5'-CTA CCA TGG GCG AGG CCC ACT CCC TGC-3'; Du-m2: 5'-AAT AAT GCG GCC GCT

CAC CAC GAG AAG AG-3'。上下游引物序列中下划线部分分别为 *Nco*I 和 *Not*I 酶切位点。引物由上海生物工程有限公司合成。该对引物理论跨幅为 832 bp, 跨越鸭 MHC-I $\alpha$ 链胞外区成熟肽基因(813 bp)。

**1.2.2 鸳鸯鸭脾脏组织总 RNA 的提取** 将鸳鸯鸭颈静脉放血处死, 无菌取脾脏组织, 用灭菌生理盐水冲洗 2 次, 置研磨器中, 每克加 10 mL Trizol 裂解液进行匀浆后, 直接用于总 RNA 提取或 -80 °C 保存备用。按高纯度总 RNA 快速提取试剂盒(Trizol-离心柱型)说明书, 提取脾脏组织总 RNA, 将 RNA -70 °C 保存或直接用于第一链 cDNA 的合成。

**1.2.3 MHC-I $\alpha$ 链胞外区成熟肽基因的 RT-PCR 扩增** 取 RNA 1  $\mu$ g, 采用 RevertAidTM First Strand cDNA Synthesis Kit 合成 cDNA。以此 cDNA 为模板进行 PCR 反应, 反应体系为: cDNA 4  $\mu$ L、上游引物(50  $\mu$ mol/L) 0.5  $\mu$ L、下游引物(50  $\mu$ mol/L) 0.5  $\mu$ L、Premix Taq 预混酶 10  $\mu$ L, 补充灭菌去离子水至 25  $\mu$ L。反应条件: 95 °C 5 min; 94 °C 45 s, 59 °C 45 s, 72 °C 45 s, 35 个循环; 72 °C 10 min。然后用 10 g/L 琼脂糖凝胶(含 0.5  $\mu$ g/mL EB)对 PCR 产物进行电泳检测。

**1.2.4 MHC-I $\alpha$ 链胞外区成熟肽基因的克隆与鉴定** 回收 PCR 产物, 将其克隆到 pGEM-T Easy Vector 中, 构建重组质粒 pGEM/Du MHC-I, 按如下反应体系进行克隆: 纯化的 PCR 产物 4  $\mu$ L、pGEM-T Easy Vector 1  $\mu$ L、Ligation Solution I 5  $\mu$ L, 16 °C 过夜。将得到的重组质粒 pGEM/Du MHC-I 转化感受态大肠杆菌 DH5 $\alpha$ , 涂布于含 60  $\mu$ g/mL 氨苄青霉素(Amp)、20 mg/mL X-gal、24 mg/mL IPTG 的 LB 平板培养基上, 37 °C 培养过夜, 进行蓝白斑筛选。随机挑取白斑菌落接种于含 60  $\mu$ g/mL Amp 的 LB 肉汤培养基中, 37 °C 振荡培养 12~16 h。抽提质粒, PCR 法初筛阳性重组质粒 pGEM/Du MHC-I, 用 *Eco*R I 对重组质粒进行酶切鉴定。将经 PCR 和酶切鉴定为阳性的重组菌送上海生物工程有限公司进行测序。

**1.2.5 重组表达质粒 pET/Du MHC-I 的构建与鉴定** 用 *Nco*I 和 *Not*I 双酶切重组质粒 pGEM/Du MHC-I, 电泳、分离并回收 MHC-I $\alpha$ 基因, 将其定向插入到经同样双酶切处理的原核表达载体 pET-28a(+)中, 构建重组表达质粒 pET/Du MHC-I。目的基因与空载体 pET-28a(+)按 4 : 1 的比例混

合进行连接反应, 加入 T4 连接酶 1  $\mu$ L, 反应体积为 10  $\mu$ L, 16 °C 连接过夜。取连接反应产物 5  $\mu$ L 转化感受态大肠杆菌 DH5 $\alpha$ , 涂布于含 50  $\mu$ g/mL 卡那霉素(Kan)的 LB 平板培养基上, 37 °C 培养过夜。随机挑取单菌落, 接种于含有 Kan 50  $\mu$ g/mL 的 LB 肉汤培养基中, 37 °C 振荡培养 12~16 h, 抽提质粒, PCR 初筛出阳性重组表达质粒 pET/Du MHC-I, 用 *Nco*I 和 *Not*I 进行酶切鉴定。将经 PCR 和酶切鉴定为阳性的重组菌送上海生物工程有限公司进行测序, 以验证重组质粒读码框的正确性。

## 2 结果与分析

### 2.1 鸭 MHC-I $\alpha$ 链胞外区成熟肽基因的扩增

扩增产物经琼脂糖凝胶电泳检测, 结果获得了长度约为 830 bp 的特异性条带(图 1), 与预期结果相符。

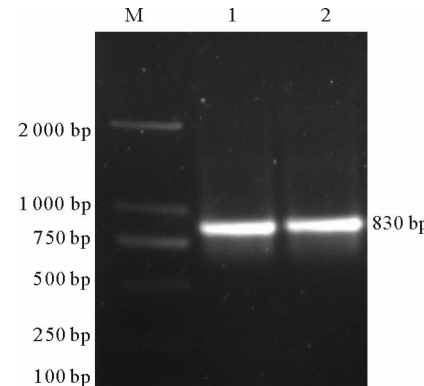


图 1 鸭 MHC-I $\alpha$ 链胞外区成熟肽基因的 RT-PCR 扩增  
M. DNA Marker DL2000; 1~2. RT-PCR 产物

Fig. 1 RT-PCR result of MHC-I $\alpha$  chain mature peptide

gene of the extracellular domain

M. DNA Marker DL2000; 1~2. RT-PCR of

duck MHC class I gene segment

### 2.2 重组质粒 pGEM/Du MHC-I 的酶切鉴定

提取 PCR 鉴定为阳性重组菌的质粒 pGEM/Du MHC-I, 用 *Eco*R I 进行酶切鉴定。pGEM-T Easy Vector 的长度为 3 015 bp, 并有 2 个 *Eco*R I 酶切位点。重组质粒经 *Eco*R I 酶切后, 电泳出现 2 条带, 其中一条带为载体质粒, 约 3 015 bp; 另一条带为所克隆的鸭 MHC-I $\alpha$ 链胞外区成熟肽基因片段, 约 830 bp(图 2), 与预期结果相符。

### 2.3 鸭 MHC-I $\alpha$ 链胞外区成熟肽基因的测序与序列分析

测序结果(图 3)表明, 本试验所扩增的鸭 MHC-I $\alpha$ 链核苷酸序列长度为 832 bp, G+C 含量为 60.5%。采用丹麦科技大学生物序列分析中心

提供的蛋白信号肽在线预测软件 Signal P 3.0 分析,结果显示,所获得的 832 bp 核苷酸序列中包含 1 个完整的鸭 MHC-I  $\alpha$  链胞外区成熟肽基因序列,共 813 bp。鸭 MHC-I  $\alpha$  链胞外区成熟肽基因与 GenBank 上已登录的鸭 MHC-I mRNA 序列同源性为 89.4%~91.7%,氨基酸同源性为 78.2%~83.7%;与鸡、鹅、鹌鹑、草鱼、狗、猪、鼠和人的 MHC-I  $\alpha$  链胞外区成熟肽氨基酸序列的同源性分别为 64.6%,79.3%,59.4%,41.0%,26.6%,45.0%,12.5% 和 22.1%,表明 MHC-I  $\alpha$  链胞外区成熟肽基因存在种属多样性,且亲缘关系越近,同源性越高。将该成熟肽序列输入 DDBJ/MBL/GenBank 进行 Blast 同源分析,结果显示,排列在前 40 位的基因均为 MHC-I 类基因,且前 18 个均为已登陆 GenBank 的鸭 MHC-I 序列,说明本试验所克隆的基因具备鸭 MHC-I 的分子特征。pGEM/Du MHC-I 5' 端起始密码子(ATG)和 3' 端终止子(TGA)及两侧 Nco I 和 Not I 限制性内切酶的识别序列均完整。鸭 MHC-I  $\alpha$  链胞外区长度为 271 个

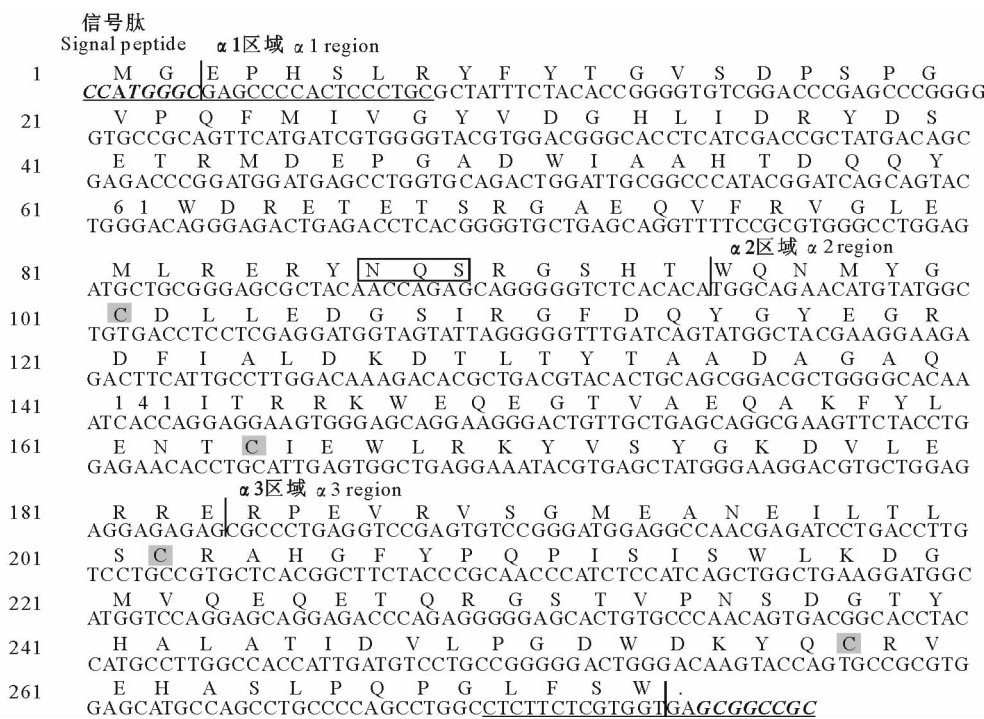


图 3 鸭 MHC-I  $\alpha$  链胞外区成熟肽基因的核苷酸序列

下划线部分代表引物序列;黑斜体部分代表酶切位点;方框内氨基酸为糖基化位点;阴影部分为半胱氨酸

Fig. 3 Duck MHC-I  $\alpha$  chain mature peptide of the extracellular domain gene nucleotide and amino acids sequence

The underlined nucleotide sequence represent primer sequence; The bold italic represents restriction sites.

The framed residues represent potential N-glycosylation sites; The shaded amino acids represent cysteine

## 2.4 重组表达质粒 pET/Du MHC-I 的鉴定

由图 4 可看出,重组质粒 pET/Du MHC-I 经 PCR 扩增,获得了 1 条 830 bp 左右的目的条带;

氨基酸,包括含 92 个氨基酸的  $\alpha$ 1 链、89 个氨基酸的  $\alpha$ 2 链和 90 个氨基酸的  $\alpha$ 3 链。在  $\alpha$ 2、 $\alpha$ 3 区域分别存在 2 个半胱氨酸和 1 个潜在的 N-糖基化位点。

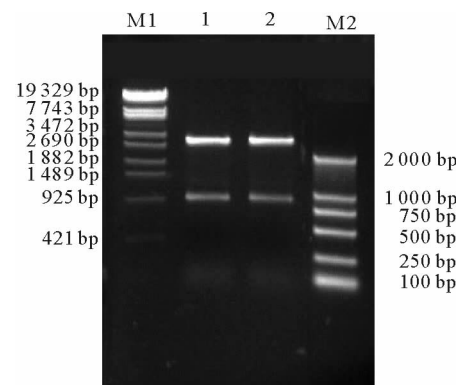


图 2 重组质粒 pGEM/Du MHC-I 的酶切鉴定

M1.  $\lambda$ -EcoT 14 I digest; 1~2. EcoR I 酶切  
重组质粒; M2. DNA Marker DL2000

Fig. 2 Identification by endonucleases analysis

of pGEM/Du MHC-I plasmid  
M1.  $\lambda$ -EcoT 14 I digest; 1~2. Recombinant plasmid  
digestion by EcoR I ; M2. DNA Marker DL2000

pET/Du MHC-I 经 Nco I 和 Not I 双酶切,出现了 2 条带,其中一条带为载体条带(长度约为 5 369 bp),另一条为插入的目的条带(长度约为 830 bp);

空载体 pET-28 a(+)经 *Nco* I 和 *Not* I 双酶切,结果只有1条约5 369 bp 的条带,试验结果均与预期结果相符。对经 PCR 和酶切鉴定为阳性的重组质粒进行测序,结果显示,所测序列与鸭 MHC-I  $\alpha$  链胞外区成熟肽基因的测序结果完全一致,pET/Du

MHC-I 5' 端起始密码子(ATG)和3' 端终止子(TGA)及两侧 *Nco* I 和 *Not* I 限制性内切酶的识别序列均完整,且读码框正确。上述结果表明,重组表达质粒 pET/Du MHC-I 构建成功。

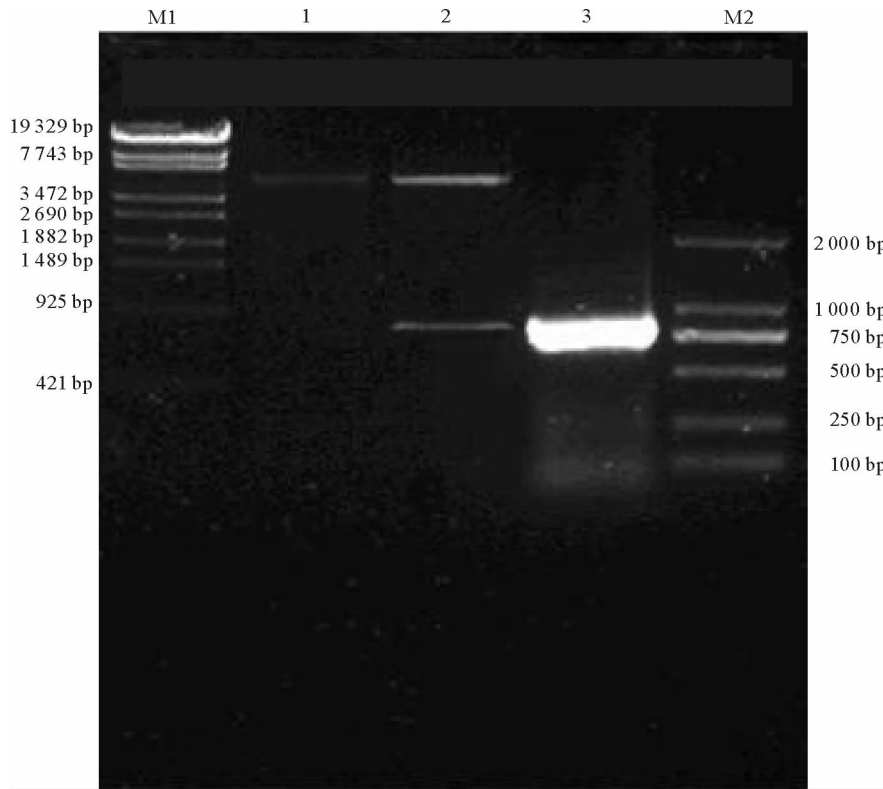


图4 重组表达质粒 pET/Du MHC-I 的 PCR 和酶切鉴定

M1.  $\lambda$ -EcoT 14 I digest; 1. pET-28  $\alpha$ (+)空载体 *Nco* I 和 *Not* I 酶切产物; 2. 重组质粒 *Nco* I 和 *Not* I 酶切产物; 3. 重组质粒 PCR 产物; M2. DNA Marker DL2000

Fig. 4 Identification of recombinant plasmid by digestion (by *Nco* I + *Not* I) and PCR  
M1.  $\lambda$ -EcoT 14 I digest; 1. pET-28  $\alpha$ (+) digestion by *Nco* I + *Not* I; 2. pET/Du MHC-I digestion  
by *Nco* I + *Not* I; 3. PCR product of recombinant plasmid; M2. DNA Marker DL2000

### 3 讨 论

据联合国粮农组织(FAO)的统计,自20世纪中期以来,世界鸭的总存栏量一直处于上升趋势。中国是世界上鸭存栏量最多的国家,约占世界总量的70%,2005年的鸭存栏量达7.25亿只,并且每年以10%~15%的速度增长。我国也是世界上鸭消费量最大的国家,鸭肉、蛋及鸭绒等产品给养殖户带来了巨大的经济效益。但随着养殖量的增加,鸭的疾病逐渐增多,并日趋复杂,而对于鸭疾病、病原和免疫学的研究远远落后于生产。

研究表明,鸭可能是H5N1禽流感病毒的隐性储存宿主,其在H5N1禽流感病毒感染其他家禽和人的过程中可能起着重要作用<sup>[8]</sup>。目前,对鸭基础

免疫学的研究报道相对于鸡来说甚少,空白点比较多,尚需深入研究。MHC-I是重要的免疫分子,能够稳定地遗传,并且与疾病有明显的相关性。研究鸭 MHC-I 结构是阐明其分子免疫系统的重要环节<sup>[9-11]</sup>。

表位疫苗是用抗原表位制备的疫苗,该类疫苗安全、无毒、稳定,由于其分子结构小而简单,能够非常安全地促使动物抵抗病毒感染。目前设计多肽疫苗的关键,就是从动物传染病的病原中鉴定出合适的T或B细胞表位<sup>[12]</sup>。因此,我们可以通过体外构建鸳鸯鸭 MHC-I- $\beta$ 2m 复合物及其病毒多肽鉴定系统<sup>[13-14]</sup>,进行禽流感病毒抗原多肽测定,筛选出合适的表位。同时,这也可为进一步分析病毒跨物种感染提供资料。本研究将 MHC-I  $\alpha$  链胞外区成熟

肽基因片段亚克隆入原核表达载体 pET-28a(+),为研究鸭 MHC-I  $\alpha$  链的表达、纯化以及体外构建鸳鸯鸭 MHC-I- $\beta2m$  复合物奠定了基础,也为动物重大病原表位多肽鉴定平台的建立,提供了必要材料和支撑。

## [参考文献]

- [1] Bjorkman P J, Saper M A, Samraoui B, et al. Structure of the human class I histocompatibility antigen, HLA-A2 [J]. *Nature*, 1987, 329(6139): 506-512.
- [2] Gao G F, Tormo J, Gerth U C, et al. Crystal structure of the complex between human CD8 alpha and HLA-A2 [J]. *Nature*, 1997, 387: 630-634.
- [3] Sturm-Ramirez K M, Ellis T, Bousfield B, et al. Reemerging H5N1 influenza viruses in Hong Kong in 2002 are highly pathogenic to ducks [J]. *Journal of Virology*, 2004, 78(9): 4892-4901.
- [4] Takada A, Kuboki N, Okazaki K, et al. A virulent avian influenza virus as a vaccine strain against a potential human pandemic [J]. *Journal of Virology*, 1999, 73(10): 8303-8307.
- [5] 仇保丰, 刘武杰, 刘秀梵, 等. 近年来华东地区家鸭中流感病毒的亚型分布 [J]. 微生物学报, 2008, 48(10): 1290-1294.
- Qiu B F, Liu W J, Liu X F, et al. Distribution of avian influenza virus subtypes among domestic duck in Eastern China [J]. *Acta Microbiologica Sinica*, 2008, 48(10): 1290-1294. (in Chinese)
- [6] Chen H, Deng G, Li Z, et al. The evolution of H5N1 influenza viruses in ducks in Southern China [J]. *PNAS*, 2004, 101(28): 10452-10457.
- [7] Li K S, Xu K M, Peiris J S, et al. Characterization of H9 subtype influenza viruses from the Ducks of southern China: a candidate for the next influenza pandemic in humans [J]. *Journal of Virology*, 2003, 77(12): 6988-6994.
- [8] 刘秀梵. 家鸭可能带来禽流感的新威胁-FAO、OIE 和 WHO 发出联合警报 [J]. 中国家禽, 2004, 26(22): 50.
- Liu X F, FAO, OIE and WHO issued a joint warning-domestic ducks may have a new threat of avian influenza [J]. *China Poultry*, 2004, 26(22): 50. (in Chinese)
- [9] 阮小飞, 同若潜, 夏春, 等. 鸭 MHC-I 轻链 cDNA 克隆及其蛋白的二级结构分析 [J]. *农业生物技术学报*, 2007, 15(1): 41-45.
- Ruan X F, Yan R Q, Xia C, et al. cDNA cloning and protein structure analysis of duck MHC class I light chain (Anp1- $\beta2m$ ) [J]. *Journal of Agricultural Biotechnolog*, 2007, 15(1): 41-45. (in Chinese)
- [10] Xia C, Lin C Y, Xu G X, et al. cDNA cloning and genomic structure of the duck (*Anas platyrhynchos*) MHC class I gene [J]. *Immunogenetics*, 2004, 56: 304-309.
- [11] Mesa C M, Thulien K J, Moon D A, et al. The dominant MHC class I gene is adjacent to the polymorphic *TAP2* gene in the duck, *anas platyrhynchos* [J]. *Immunogenetics*, 2004, 56: 192-203.
- [12] Maeurer M J, Storkus W J, Kirkwood J M, et al. New treatment options for patients with melanoma: review of melanoma-derived T-cell epitope-based peptide vaccines [J]. *Melanoma Res*, 1996, 6(1): 11-24.
- [13] 李新生, 陈红英, 夏春, 等. 禽流感病毒 T 细胞表位与体外重建鸡 MHC-I 类分子结合试验 [J]. 畜牧兽医学报, 2007, 38(12): 1335-1340.
- Li X S, Chen H Y, Xia C, et al. Study on Avian Influenza Virus T cell epitopes binding with reconstructed chicken MHC-I molecules *in vitro* [J]. *Acta Veterinaria et Zootechnica Sinica* 2007, 38(12): 1335-1340. (in Chinese)
- [14] 李新生, 同若潜, 夏春, 等. 珍珠鸡 MHC-I 轻链基因的克隆、可溶性表达与纯化 [J]. 中国畜牧兽医, 2006, 33(9): 47-50.
- Li X S, Yan R Q, Xia C, et al. Cloning, expression and Soluble purification of the MHC-I light chain from chickene breed (*numida meleagris*) [J]. *China Animal Husbandry & Veterinary Medicine*, 2006, 33(9): 47-50. (in Chinese)